Результаты расчета X_0 и Y_0 при $\Delta \tau = \pm -0.01$ с

Коорд., рас-Скор. Коорд., расчит счит. по Скор. Tig с вр. погреши. планшету AX Δy 300 1.807 1,110 2,014 1,483 374 | 690.1 735,5 689,3 0,410 0,749 0,550 +0.8800 0.671 881 690,4 734,2 687,4 732,1 +3.01200 0,444 0,270 0,496 0,363 1506 | 689,8 733,5 685,8 730,7 1600 0,331 0,200 0,370 0,270 2017 | 690,0 | 733,8 | 684,6 | 730,0 | + 5,4 | + 3.8 300 1.756 0,482 1,611 0,247 235 | 560.4 | 532.4 | 559.7 530,8 800 0,652 0.174 0.598 0.087 630 | 590.5 532,0 557,5 529.1 -- 3.0 -- 2.9 1200 | 0.431 0,113 0,395 0.054 951 560.9 532.0 527,3 556.5 1600 0,321 0,082 0,294 0,038 5t 0.4 532.0 554.8 525.6 300 0,984 -0.526|2.3121.961 314 418.1 743.1 416.6 743.1 800 0.363 -0.204 | 0.861839 0.729 418.1 743,4 413.4 742,2 1200 0,239 -0.139 | 0.5710,482 1257 418.5 742.7 +6.8 + 1.5411.7 741.2 1600 0,176 -0.107 0.4250.359 1688 418,1 743.1 408,7 741,3 +9.4!+1.80,927 2,003 1,380 300 1,721 658,3 719,6 646,5 702,2 329 +11.8 + 17.0800 0,637 0,306 0,745 0,511 929 | 644,9 | 717,4 | 636,6 | 709,1 +8.3+8.31200 0,428 0,224 0,499 0,338 1297 | 644,2 | 700.7 | 640.7 | 697,3 | + 3,5 - 3,4 1600 0,318 0,166 0,367 0,251 1831 | 652,2 | 709,3 | 645,5 | 704,1 | + 7,1 + 5,2

ных характеристик можно сделать после его полной аппаратурной реализации и накопления достаточного объема статистических данных в полевых условиях.

Список литературы: 1. Дубянский В. И., Никитина Т. М. Изучение возможностей определения координат взрыва сейсмическими методами. — Воронеж, 1973. 2. Гурвич И. И. Сейсморазведка. — М.: Недра, 1981. 3. Спицын Ю. И. Способ определения координат точек и параметров из взаимного положения с помощью поверхностного сейсмического эффекта. — Геодезия, картография и аэрофотосъемка, 1982, вып. 34. 4. Видуев Н. Г., Гиргоренко А. Г. Математическая обработка геодезических измерений. — Кпев: Вища школа. 1978.

Статья поступила в редколлегию 13. 01. 82

импой зависимостью переменных. Для анализа погрешностей в координатах при изменении скорости распространения сейсмических волн введем заранее известные погрешности в au_i для экстремальных моментов, когда всс τ_i имеют погрешность +0.01 или -0.01 с. Результаты расчета представлены в табл. 2,3.

ференцирования выражений (7) и (9) по шести частным произподным, а расчет ошибок с требуемой точностью затруднен вза-

Аналитические выражения среднеквадратических ошибок определения координат представляют собой сложные формулы диф-

> Таблица 2 Результаты расчета X_0 и Y_0 при $\Delta \tau = 0.01$ с

| Скор. расч. т. т. т. Скор. измер. счит. по планшету счит. с вр. погрешност. дх у дх дх | puctera Λ ₀ и Γ ₀ при Δτ≡0,01 c | | | | | | | | | | | |
|--|--|--|---|--|---|--|---|--|--|---|--|--|
| $\begin{array}{c ccccccccccccccccccccccccccccccccccc$ | | τ_{I} | τη | τ ₃ | 74 | | | | счит, с вр. | | ΔX | ΔY |
| $\begin{array}{c ccccccccccccccccccccccccccccccccccc$ | | | | 1 1 10 | rib in | | X | У | X | У | 200 | |
| 1600 0 338 0 186 0 387 0 371 1272 0 44,2 700,7 0 46,9 702,8 4,7 - 2, | 800 1200 1600 300 800 1200 1600 300 800 1200 1600 800 1200 | 0,691 0,464 0,351 1,776 0,672 0,451 1,0341 0,384 0,259 0,196 1,761 0,667 0,448 | 0,430 0,290 0,220 0,502 0,194 0,133 0,102 - 0,506 -0,181 -0,119 -0.087 0,947 0,326 0,244 | 0,769 0,516 0,390 1,631 0,618 0,415 0,314 2,332 0,831 0,591 0,445 2,023 0,765 0,519 | 0,570 0,383 0,290 0,267 0,107 0,074 0,058 1,981 0,502 0,379 1,400 0,531 0,358 | 969 1477 1963 235 623 937 1240 312 829 1237 1651 337 955 1272 | 690.4 689,8 690,0 560,4 560,5 560,9 560,4 418,1 418,1 418,5 44,8,1 658,3 644,9 644,2 | 734,2 733,5 733,8 532,4 532,0 532,0 743,1 742,7 743,1 719,6 717,4 700,7 | 691,4 693,7 695,0 562,0 563,2 565,5 566,0 420,0 422,6 425,4 427,1 652,0 647,9 648,9 | 731,8 736,1 736,9 533,2 536,3 536,6 538,1 743,6 744,0 744,0 744,8 708,2 719,7 | -1,0 -3,9 -5,0 -1,6 -2,7 -4,2 -5,6 -1,9 -4,5 -6,9 +6,3 -3,0 -4,7 | + 2,6 - 2,0 - 3,1 - 0,8 - 3,6 - 6,1 - 0,5 - 1,3 - 1,7 +11,4 |

Примечание: $\Delta X_{cn} = -2.9$ м, $\Delta Y_{cn} = -1.6$ м, $m_{\rm x} = \pm 4.6$ М76., $m_{\rm y} = \pm 4.1$ ч $M_{x,y} = \pm 6.2 \text{ M}.$

Из таблиц видно, что погрешности определения координат весьма незначительно зависят от изменения скорости распространения и находятся в прямой зависимости от точности фиксации моментов первого вступления сейсмической волны в точках приема.

Расчет таблиц произведен по программе обработки даниых сейсмической информации в соответствии с формулами (11) пл питерпретирующем процессоре «Искра-1256».

Способ рассматривается, наряду с работой [3], как второй, бо лее точный вариант определения координат точек земной поверх пости сейсмическими методами в автоматизированной геодезической системе.

Окончательные практические выводы о точности получения координат предлагаемым способом наблюдения и обработки сейсми ческой информации, а также о мерах по повышению его точност

УДК 528.32+666_94

Т. Г. ШЕВЧЕНКО

РАЗРАБОТКА МЕТОДИКИ ГЕОДЕЗИЧЕСКОГО КОНТРОЛЯ прямолинейности оси наклонных цилиндрических оболочек

Независимо от технологических особенностей цилиндрической оболочки геодезический контроль прямолинейности ее оси основывается на отыскании характерных точек оболочки и проверке их расположения относительно опорной или створной липии. В простейшем случае, когда форма оболочки не отличается от круговой цилиндрической, операции контроля не представляют

сложности [4]. Опорная линия при этом может быть зафиксировапа центрами поперечных сечений внутри оболочки или вынесена за ее пределы. В случае значительных отклонений формы поперечных сечений от круговой прибегают к фиксации большего числа створных линий с целью повышения точности измерений. Так поступают при контроле прямолинейности оси корпуса вращающейся печи [5] или стыковке отсеков фюзеляжа самолета [2].

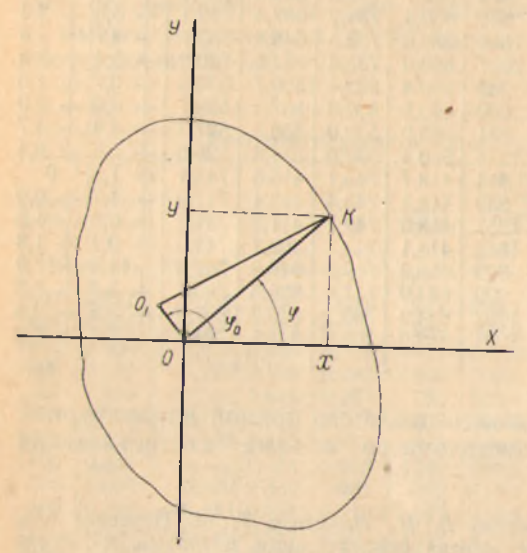


Схема к определению центра сечения.

Геодезический контроль прямолинейности оси оболочки корпуса вращающейся печи заключается в определении положення центров поперечных сечений путем измерения величин двух взаимно перпендикулярных диаметров сечения в проекции на горизонтальную плоскость [1, 5]. Измерения выполняются на работающем агрегате во время вращения корпуса. Результаты измерений трудно использовать в качестве исходных данных для ремонта, стыковки и центровки корпусов. Помимо этого они не характеризуют однозначно

сечение, что существенно снижает их точность, так как отклонения его от круговой формы могут достигать нескольких сантиметров и носят случайный характер. Допуск на непрямолинейность оси корпуса составляет ± 3 мм. При этом под осью корпуса подразумевают линию, которая соединяет центры тяжести контурных кривых поперечных сечений. Радиус кривизны в различных участках сечения отличается от номинального радиуса корпуса, а изменения его носят случайный характер.

Контур сечения можно представить как замкнутую кривую, описываемую концом К радиус-вектора R, вращающегося вокруг центра О (рисунок). Его величина изменяется в зависимости от угла поворота ф согласно периодической функции $R(\phi)$ с периодом $T = 2\pi$, которую можно представить в виде

$$R(\varphi) = a_0 + \sum_{k=1}^{\infty} a_k (\cos k\varphi + \alpha_k). \tag{1}$$

Коэффициент a_0 соответствует номинальному радиусу корпуса R_0 : $a_{2},\ a_{3},\ \ldots\ a_{k}$ характеризуют отличие R от $R_{0},\ a$ коэффициент a_{1} занисит от места нахождения центра О. Расположение поперечного сечения относительно створной линии, зафиксированной цент-

рами двух сечений, может быть произвольным в пределах искривлений оси корпуса. Поэтому переместим центр O в точку O_1 . Этому полюсу соответствует величина радиус-вектора R_1 . Представив эксцентриситет полюса O_1 относительно O как Re, ввиду $R\gg e$ и малости е получим

 $R_1 = R \sqrt{1 - 2e \cos{(\varphi_0 - \varphi)}},$

или

$$R_1 = R - Re\cos(\varphi_0 - \varphi). \tag{2}$$

Подставив значения R из (1) в (2), имеем

$$R_1 = a_0 + [a_1 \cos(\varphi + a_1) - Re\cos(\varphi_0 - \varphi)] + \sum_{k=2}^{\infty} a_k \cos(k\varphi + a_k).(3)$$

Если $Re = a_1$, а $\phi_0 = -\alpha_1$, то выражение (3) примет вид

$$R = a_0 + \sum_{k=2}^{\infty} a_k \cos(k\varphi + u_k). \tag{4}$$

Коэффициент первой кратности разложения функции $R(\phi)$ в ряд Φ урье выражает эксцентриситет O_1 относительно O, т. е., зная величину a_1 и фазовый угол a_1 , можно определить положение центра сечения относительно створной прямой. Поскольку контурсечения является произвольной замкнутой кривой, приближенные величины коэффициентов разложения можно определить предварительно представив ряд в виде

$$R(\varphi) = R_0 + \sum_{k=1}^{n} a_k \cos k\varphi + \sum_{k=1}^{n} b_k \sin k\varphi, \tag{5}$$

где п — количество точек, равномерно распределенных по конгуру. Так как $T = 2\pi$, то выражение (5) правомочно переписать

$$R(\varphi) = R_0 + \sum_{k=1}^{n} A_k \sin(k\varphi + \alpha_k). \tag{6}$$

Расположение центра $O_{f 1}$ относительно O найдем из следующих ротношений между зависимостями (5) и (6): $A_k = \sqrt{a_k^2 + b_k^2}$; tg $\alpha_k =$

$$rac{a_k}{b_k}$$
 . В тоже время $R_0 = rac{\displaystyle\sum_{k=1}^n V \, x_k^2 + y_k^2}{n}$; $a_k = rac{\displaystyle\sum_{k=1}^n R_k \cos \phi_k}{n}$:

$$=\frac{\sum_{k=1}^{n}R_{k}\sin\varphi_{k}}{n}$$
. Так как $x_{h}=R_{h}\cdot\cos\varphi_{h}$, а $y_{h}=R_{h}\cdot\sin\varphi_{h}$, то ко-

ординаты O_1 относительно $O_1(x_0=a_k; y_0=b_k)$ таковы:

$$x_0 = \frac{\sum_{k=1}^{n} x_k}{n}, \quad y_0 = \frac{\sum_{k=1}^{n} y_k}{n}.$$
 (7)

Полученные выражения (7) позволяют приближенно определить координаты центра тяжести замкнутой контурной кривой сечения. Вообще говоря, координаты центра тяжести кривой постоянной плотности можно найти согласно выражениям x_0

$$=\int_{(L)} xds, y_0 = \int_{(L)} yds.$$
 Однако в случае произвольной замкнутой кри

вой функцию f(x, y) описать аналитически достаточно сложно Поэтому выражения (7) позволяют отыскать центр тяжести кривой с необходимой для практических целей точностью при достав

точной частоте расположения точек на кривой.

В производственных условиях, когда номинальный радиус корпуса вращающейся печи достигает 2,5—3,5 м, для нахождения центра сечения необходимо трансформировать контурную кривую поперечного сечения в кривую меньшего масштаба, однозначно описывающую характер сечения. Такой кривой является конхоида, получающаяся при линейном изменении радиус-вектора кривой на постоянный отрезок. В нашем случае уравнение конхоиды имеет вид

стоянный отрезок. В нашем случае уравнение конхоиды имеет видерения
$$\rho = R(\phi) - l$$
. Перепишем выражения (7) в виде $x_0 = \frac{\displaystyle\sum_{k=1}^n R_k \cos \phi_k}{n}$ $y_0 = \frac{\displaystyle\sum_{k=1}^n R_k \sin \phi_k}{n}$. Так как $R_k = \rho + l$, то $x_0 = \frac{\displaystyle\sum_{k=1}^n \rho_k \cos \phi_k}{n}$ $+ \frac{\displaystyle\sum_{k=1}^n \rho_k \sin \phi_k}{n}$, так как $\sum_{k=1}^n l \cos \phi_k = 0$, то $x_0 = \frac{\displaystyle\sum_{k=1}^n \rho_k \cos \phi_k}{n}$. Анало

$$x_0 = \frac{\sum_{k=1}^{n} x_{k'}}{n}; \quad y_0 = \frac{\sum_{k=1}^{n} y_{k'}}{n}, \tag{8}$$

где x_k и y_k — координаты точек конхоиды, которые получают при пересечении полярных линий, проведенных из точки, нахолицейся в плоскости сечения. Следует отметить, что с увеличения

оксцентриситета центра вращения радиус-вектора относительно центра тяжести контурной кривой сечения или конхоиды возрастает неравномерность разделения самой кривой полярными линиями, что снижает точность отыскания центра тяжести контурной кривой сечения. Поэтому зависимости (8) требуют уточнения. С целью упрощения рассмотрим пересечение окружности номинального радиуса R_0 рядом полярных линий, проведенных через равные углы ϕ_0 из полюса O, смещенного относительно центра окружности C с координатами x_c и y_c . Найдем координаты центра окружности через координаты точек пересечения полярных линий линии окружности, которые можно определить, решив систему уравнений:

$$(x-x_c)^2 + (y-y_c)^2 = R_0^2,$$

$$y = x \operatorname{tg} \varphi_k.$$
(9)

Полученные решения имеют вид:

$$x_{1,2} = \frac{x_c + y_c \operatorname{tg} \varphi_k}{1 + \operatorname{tg}^2 \varphi_k} \pm \sqrt{\left(\frac{x_c + y_c \operatorname{tg} \varphi_k}{1 + \operatorname{tg}^2 \varphi_k}\right)^2 - \frac{x_c^2 + y_c^2 - R_0^2}{1 + \operatorname{tg}^2 \varphi_k}},$$

$$y_{1,2} = \frac{y_c + x_c \operatorname{ctg} \varphi_k}{1 + \operatorname{ctg}^2 \varphi_k} \pm \sqrt{\left(\frac{y_c + x_c \operatorname{ctg} \varphi_k}{1 + \operatorname{ctg}^2 \varphi_k}\right)^2 - \frac{x_c^2 + y_c^2 - R_0^2}{1 + \operatorname{ctg}^2 \varphi_k}}. (10)$$

Для определения значений x_c и y_c прежде найдем значения сумм выражениях (8), подставляя значения x и y из (10):

$$\sum_{k=1}^{n} x_k = \sum_{k=1}^{n} \frac{x_c + y_c \lg \varphi_k}{1 + \lg^2 \varphi_k}, \quad \sum_{k=1}^{n} y_k = \sum_{k=1}^{n} \frac{y_c + x_c \operatorname{ctg} \varphi_k}{1 + \operatorname{ctg}^2 \varphi_k}. \tag{11}$$

Так как $0 \le \varphi_k \le 2\pi$, после преобразования получим:

$$\sum_{k=1}^{n} x_k = \sum_{k=1}^{n} \frac{x_c}{1 + tg^2 \varphi_k}; \ \sum_{k=1}^{n} y_k = \sum_{k=1}^{n} \frac{y_c}{1 + ctg^2 \varphi_k},$$

- HÆ

$$\sum_{k=1}^{n} x_k = \frac{n \cdot x_c}{2} + \sum_{k=1}^{n} \frac{x_c}{2} \cos 2\varphi_k, \quad \sum_{k=1}^{n} y_k = \frac{n \cdot y_c}{2} - \sum_{k=1}^{n} \frac{y_c}{2} \cos 2\varphi_k,$$

поскольку $\sum_{k=1}^{n} \frac{x_c}{2} \cos 2 \varphi_k = 0$ и $\sum_{k=1}^{n} \frac{y_c}{2} \cos 2 \varphi_k = 0$,

$$x_{c} = \frac{2\sum_{k=1}^{n} x_{k}}{n}, \quad y_{c} = \frac{2\sum_{k=1}^{n} y_{k}}{n}.$$
 (12)

Полученные выраження (12) позволяют найти центр тяжести контурной кривой поперечного сечения цилиндрической оболочки с учетом влияния эксцентриситета полюса на неравномерность

разделения контура. Изложенное дает возможность сделать вывод о том, что для проведения геолезического контроля прямолиней ности оси цилиндрической оболочки, форма которой отличается от круговой, необходимо отыскать центры тяжести контурных кривых поперечных сечений оболочки. Центры тяжести контурных кривых сечений совпалают с центрами тяжести конхоид, соответ ствующих контурным кливым. Запись конхоид не представляет трудности. Створная линия закрепляется центрами тяжести коптурных кривых двух сечений. Непрямолинейность оси оболочки определяется как отклонения центров тяжести контролируемых сечений от створной линии.

Список литературы: 1. Асташенков Г. Г. Выверка вращающихся печей цементных заводов. — Изв. вузов. Строительство и архитектура, 1964. 2. Васнер Е. Т., Митрофанов А. А., Барков В. Н. Лазерные и опгические методы контроля в самолетостроении — М.: Машиностроение, 1977. З. Микольский Ю. Н., Ханжонков Ю. С. О методе проверки прямолинейности корпуси вращающейся печи. — Пветные металлы, 1973, № 10. 4. Новый способ разметки колонных аппаратов с применением лазера (Неретин Ю. И., Покронский А. М., Давыдушкин В. М. и лр.). — Химическое и нефтяное машиностроение, 1974, № 9. 5. Gomoliszewski I., Gocal I. Nowa metoda geodezyinyck pomiarow odksztalcen piecow obrotowyck. — Cement, Wapno, Gips, 1967, № 5, s. 129—135.

Статья поступила в редколлегию 22. 12. 81

УДК 528_235

Г. А. ШЕХОВЦОВ

метод замены многократных геодезических засечек на эквивалентные им простые

Под простой засечкой будем понимать однократную засечку, в которой участвуют всего два направления с двух исходных пунктов на определяемый.

Оценка точности простых засечек подробно освещена в отечественной и зарубежной литературе. Что касается многократных засечек, то здесь известные способы оценки точности трудоемки и, как правило, корректны линь при некоторых допущениях. В большинстве они лишены наглядности и не дают исчерпывающей информации. Поэтому разработка методики замены многократной засечки на эквивалентную ей простую представляет интерес, поскольку она позволяет

— производить строгую оценку точности многократных засечек, используя простые формулы для однократных засечек;

— облегчить рещение вопроса механизации и автоматизации

оценки точности геодезических построений.

В статье на основании работы [1] предлагается методика такой экцивалентной замены любой засечки при любом соотношении намеренных угловых и линейных элементов. Она дает возможпость полностью использовать все наблюденные связи определяе-

мого пункта с окружающими и применима как для равноточных, так и для неравноточных измерений. Методика основана на определении дирекционных углов и длин сторон простой засечки, подера которой эквивалентна подере анализируемой многократной

В работе [1] описана стандартизованная методика оценки точности любых многократных засечек. Здесь для вычисления большой и малой полуосей подеры используется периметр П и длина замыкающей квадратического полигона, обозначенная а. Причем представленные в работе [1] формулы могут быть приведены

$$A_0^2 = \frac{2\mu^2}{\Pi - q_3^2}, \ B_0^2 = \frac{2\mu^2}{\Pi + q_2^2}, \ M^2 = \frac{4\mu^2 \Pi}{(\Pi)^2 - (q_3^2)^2},$$
 (1)

где и — средняя квадратическая погрешность единицы веса.

Анализ формул (1) показывает, что если две какие-либо засечки имеют одинаковые значения периметра П, а также одинаковые значения и ориентировку замыкающей q^2 , то подеры таких засечек будут эквивалентны, если погрешности и этих засечек равны между собой.

Конфигурация квадратического полигона зависит от ориентировки сторон засечки и количества измеренных элементов. Чтобы заменить многократную засечку эквивалентной простой, необходимо при неизменном положении замыкающей представить полигон многократной засечки в виде двух отрезков, сумма которых равна П. Иными словами, необходимо иметь новый полигон, эквивалентный по своей величине исходному. Ориентировка таких

отрезков будет характеризовать двойные дирекционные углы направлений простой засечки, а по длине отрезков можно судить о длине сторон простой засечки.

Пусть (рис. 1) замыкающая 7-6' квадратического полигона многократной засечки ориентирована относительно координатных осей под некоторым углом 2ф0 (полигон многократной засечки на рис. 1 не показан). Радиусом, равным половине периметра полигона $\Pi/2$, проводим (в масштабе замыкающей) из точек Т и 6' как из центров две дуги, которые

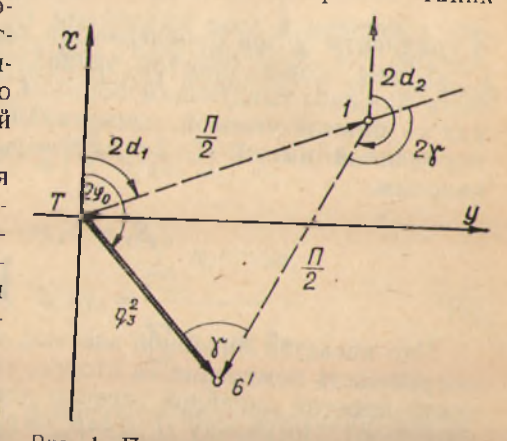


Рис. 1. Полигон простой эквивалентной засечки.

пересекутся в точке 1. Новый квадратический полигон T-1-6'характеризует элементы простой засечки.

Так, ориентировка отрезков T-1 и 1-6' равна соответственно двойным дирекционным углам $2\alpha_1$ и $2\alpha_2$ сторон простой эквивалентной засечки. Разность двойных дирекционных углов даст